

# 相対論的磁気リコネクションと 輻射による影響

高橋博之

工藤哲洋、政田洋平、松本仁

大須賀健、関口雄一郎、井上剛志、富田賢吾

# contents

## 1. 相対論的MHDリコネクション

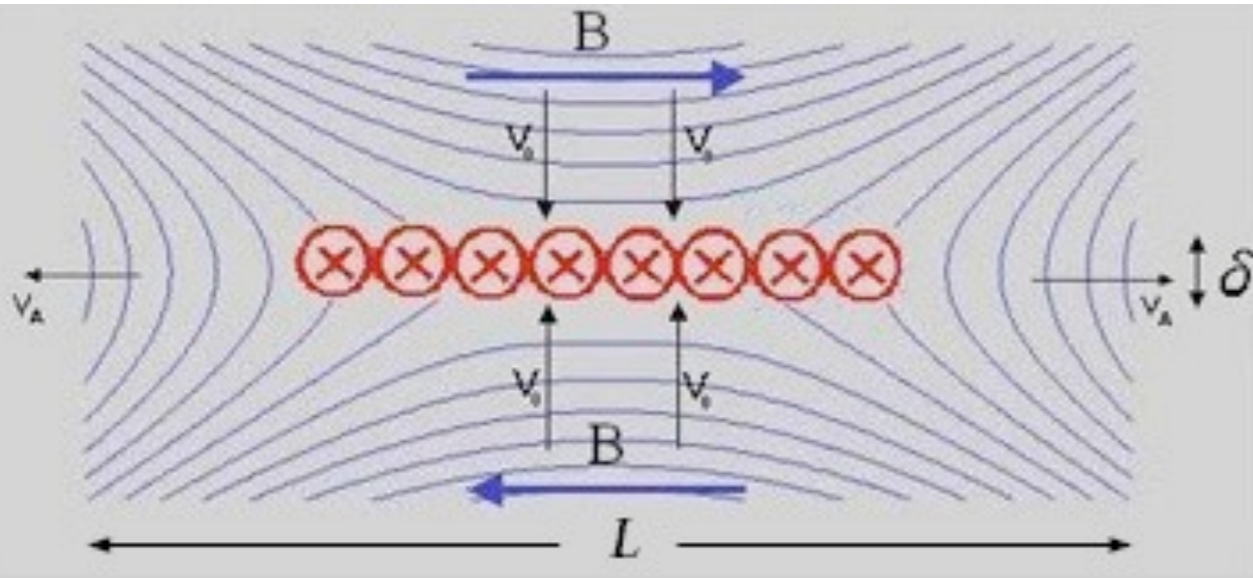
～理論と数値計算～

## 2. 一様輻射場中における磁気リコネクションの数値実験

# 非相対論的磁気リコネクションモデル

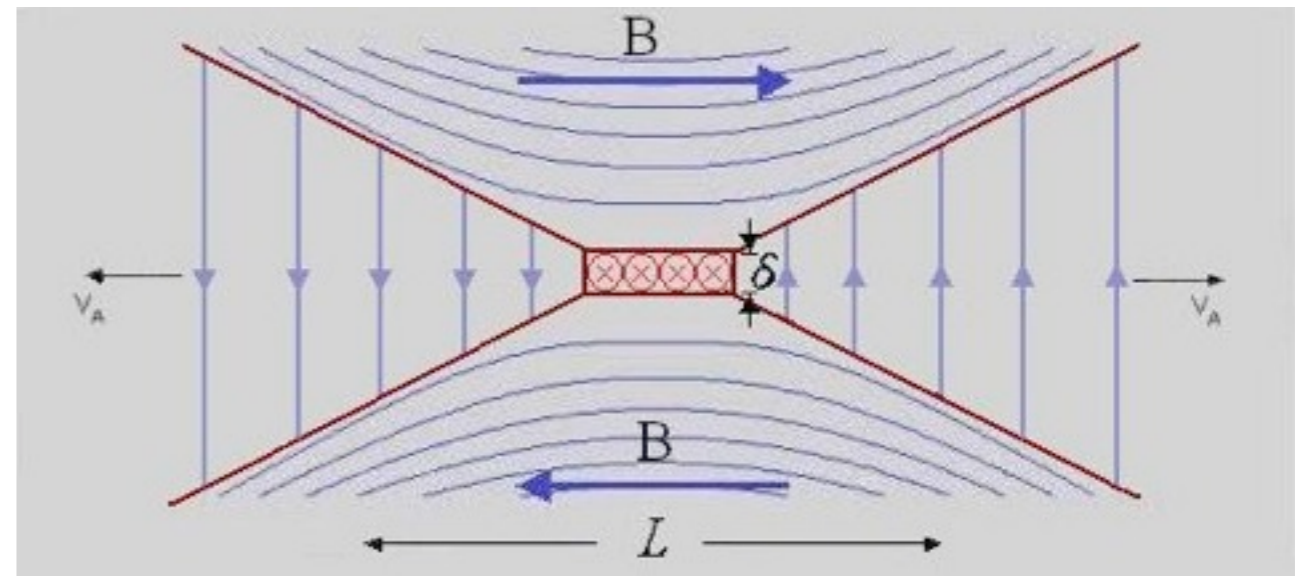
## Sweet-Parkerモデル

Sweet '58, Parker '57



## Petschekモデル

Petschek '64



<http://www.psfc.mit.edu>

磁気エネルギーは拡散領域内で  
**オーム散逸**によって散逸

拡散領域は局所的に存在している磁気エネルギー  
は主に**MHD slow shock**で解放

アルヴェーン速度まで加速

アルヴェーン速度まで加速

エネルギー変換効率  $\mathcal{R} \simeq R_M^{-0.5}$

エネルギー変換効率  $\mathcal{R} \simeq (\log R_M)^{-1}$

遅いエネルギー変換

速いエネルギー変換

# アウトフロー速度とリコネクションレート

リコネクションレート

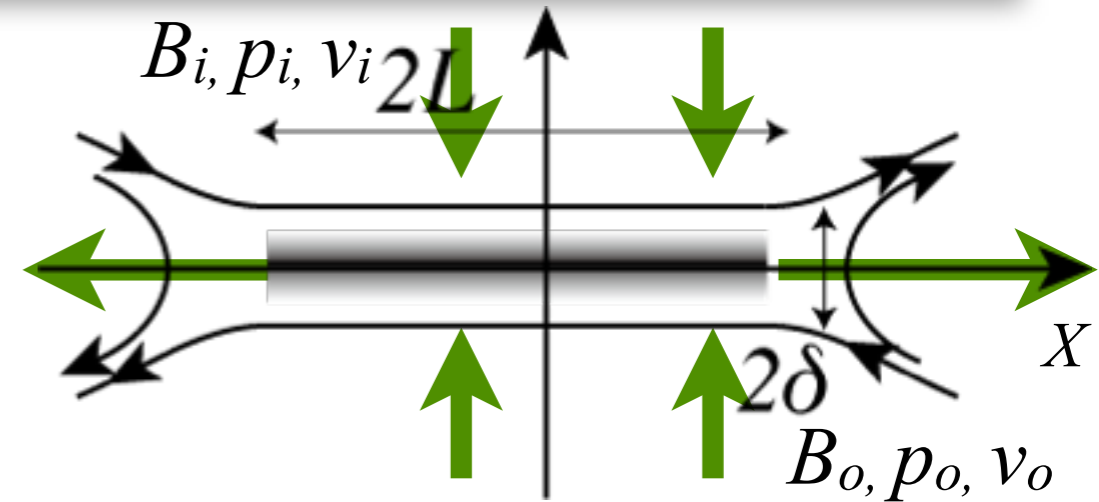
エネルギー変換の速さを示す指標  
インフロー速度で定義

◆質量保存の式より

$$\rho_i v_i \gamma_i L = \rho_o v_o \gamma_o \delta$$

➡ 
$$\frac{v_i}{v_o} = \frac{\rho_o \delta \gamma_o}{\rho_i L \gamma_i} \quad (1)$$

= (圧縮率) × (出口の広さ) × (ローレンツ収縮)



◆非相対論的(磁気エネルギー ≪ 静止質量エネルギー)の時は

磁気エネルギーの半分～大半は運動エネルギーに行くと思うと

$$\rightarrow \frac{1}{2} \rho v_o^2 \sim \frac{B^2}{8\pi} \rightarrow v_o \simeq V_A = \frac{B}{\sqrt{4\pi\rho}} \quad (2)$$

➡ 
$$\frac{v_i}{v_o} \simeq \frac{v_i}{V_A} \simeq \begin{cases} R_M^{-0.5} & \text{Sweet-Parker} \\ (\log R_M)^{-1} & \text{Petscheck} \end{cases}$$

◆相対論的(磁気エネルギー ≫ 静止質量エネルギー)の時は

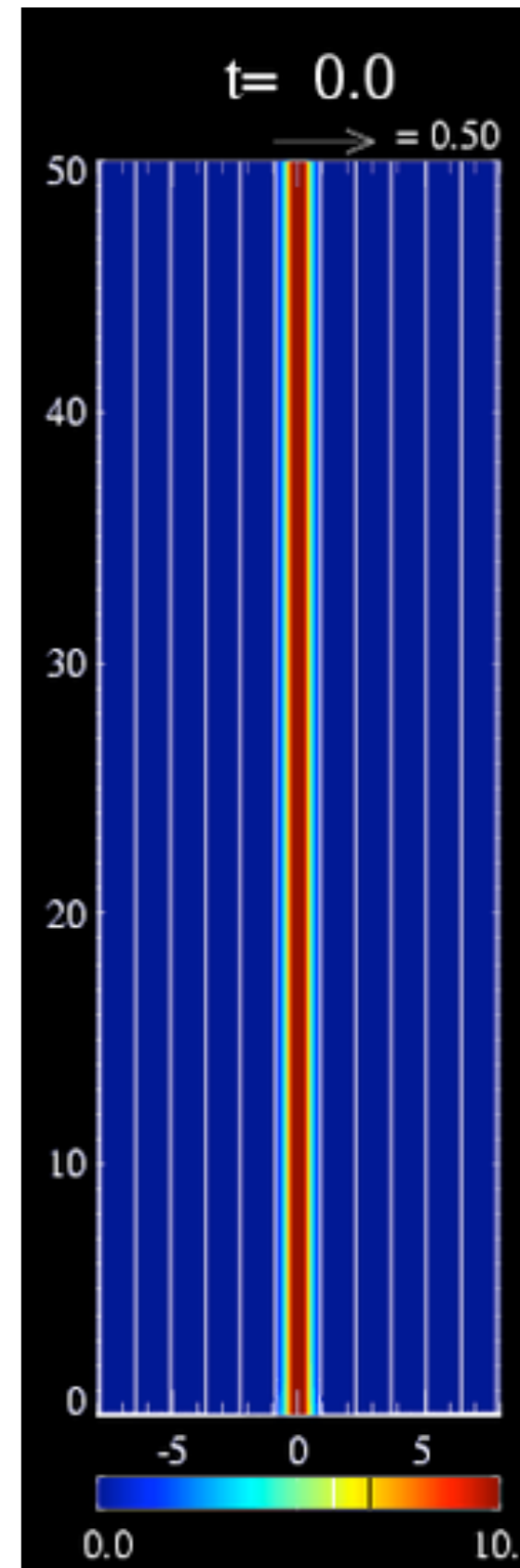
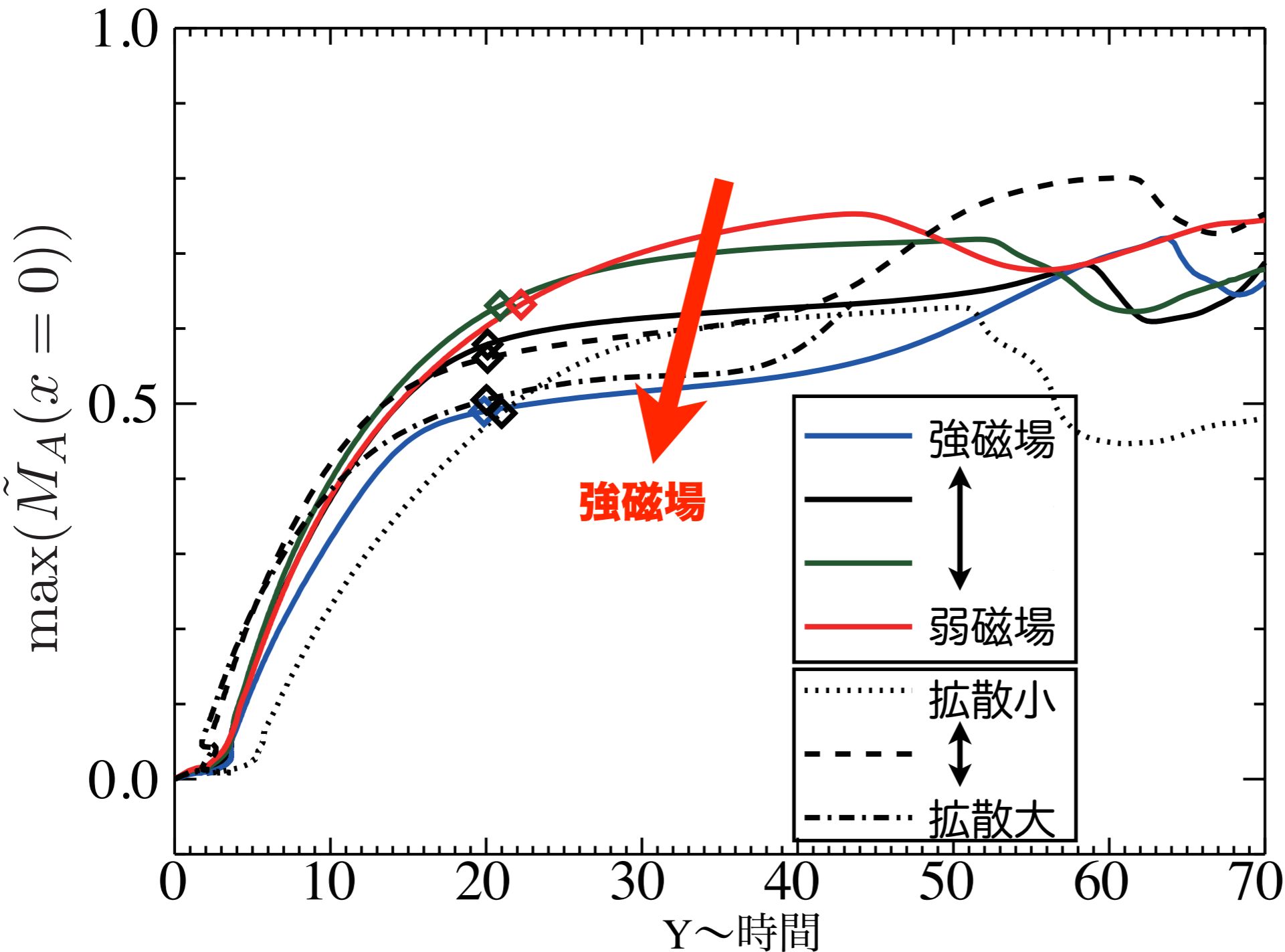
→ (2)よりアウトフロー速度は磁場強度に比例して増加

→ 式(1)よりローレンツ収縮の効果が効く？

# Sweet-Parker型リコネクションの場合

X=0で一番速いアウトフロー速度を持つ場所の軌跡をプロット

アルヴェーンマッハ数、 $V_0/V_A$



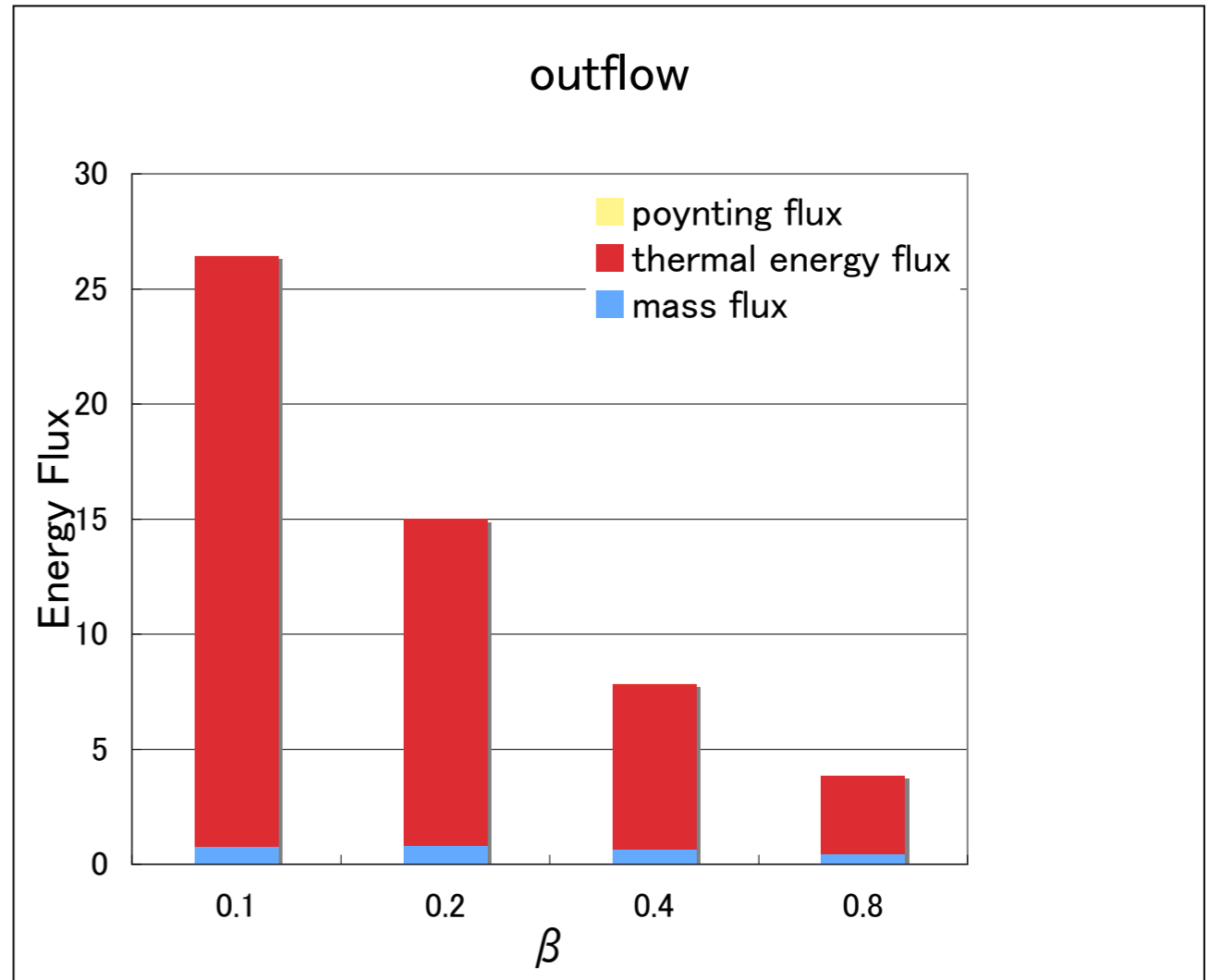
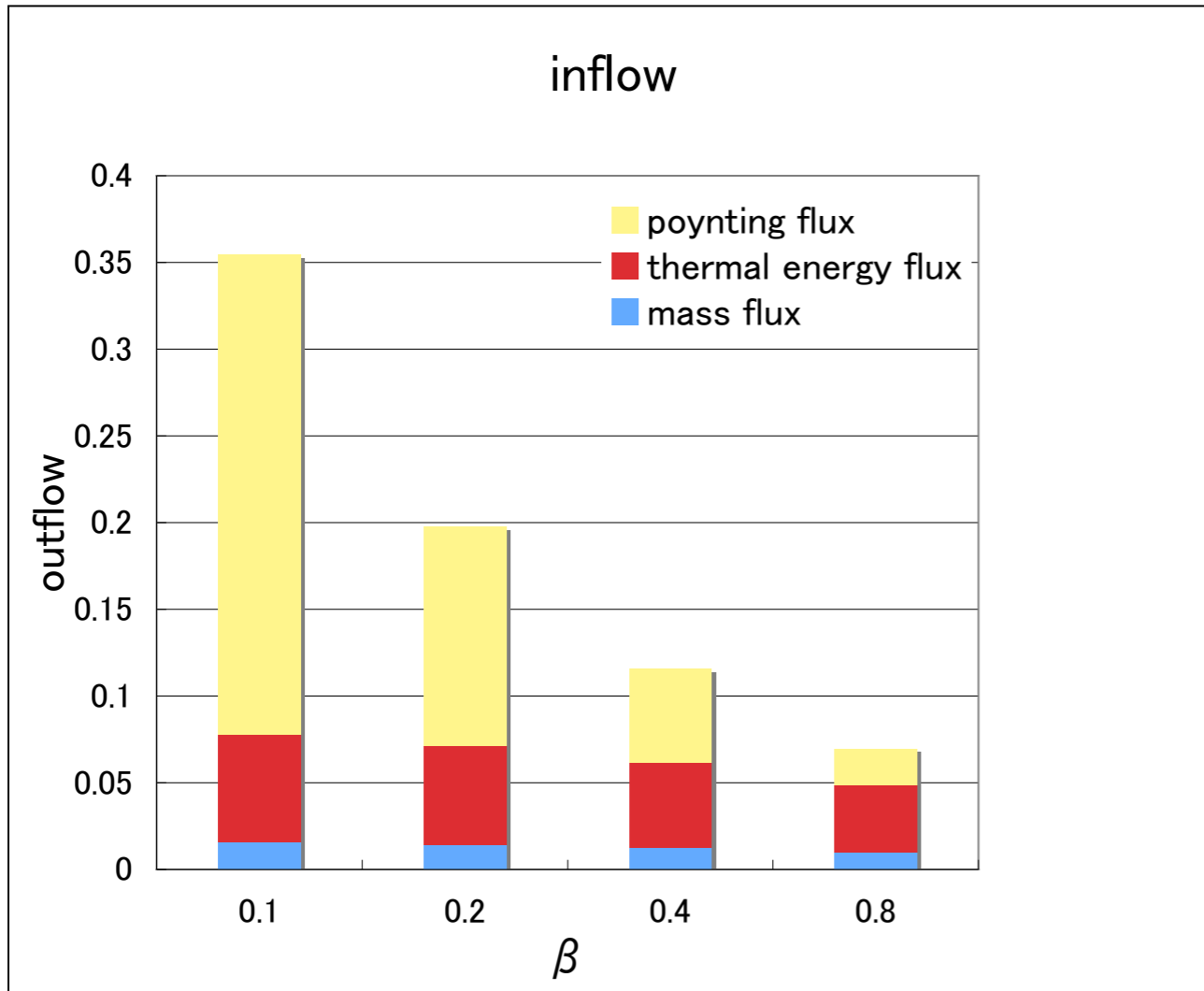
**準相対論的アウトフロー速度**

**磁場が強い(自由エネルギー大)ほどアルヴェーンマッハ数が小さい！！**

**アルヴェーンマッハ数は拡散の大きさにはそれほどよらない**

HRT+'11

# エネルギーの構成



Bernoulli constant

$$h = \left[ 1 + \frac{4p}{\rho c^2} + \frac{B^2}{4\pi \rho c^2 \gamma^2} \right] \gamma$$

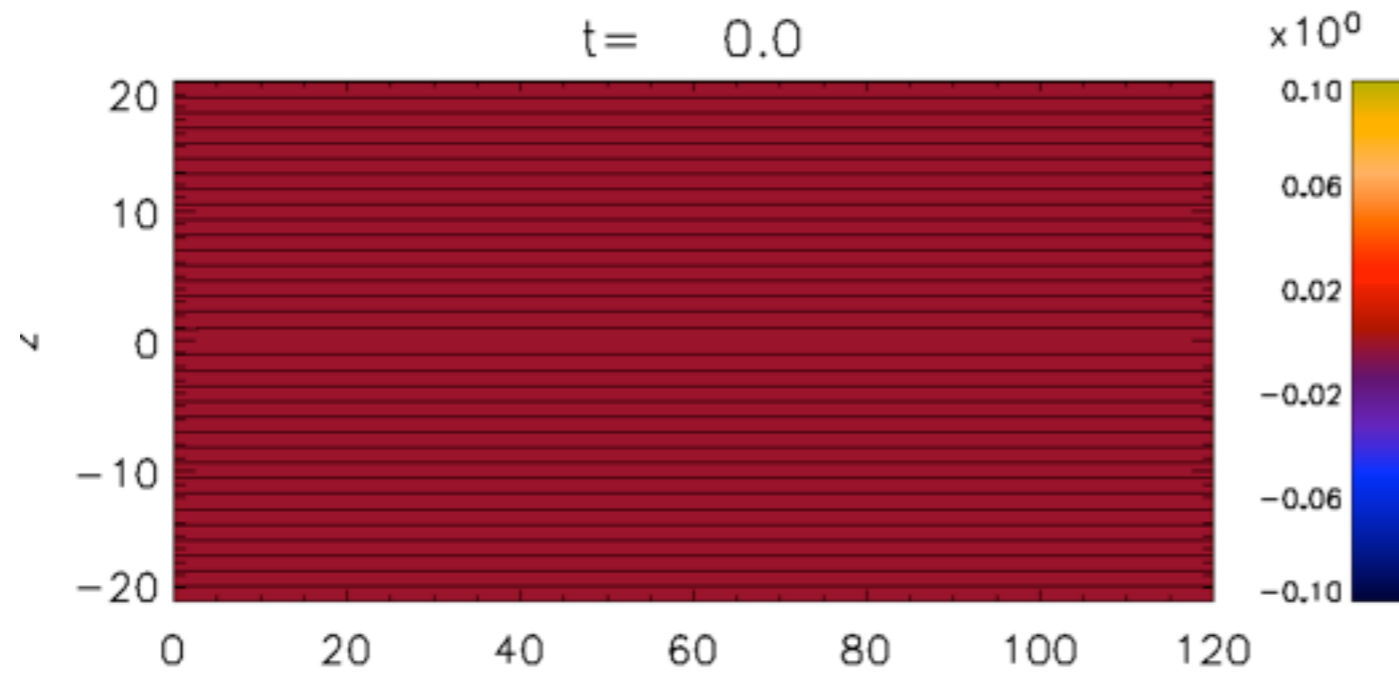
磁気エネルギーの大半は熱に変換

**プラズマの重さ（慣性）は熱エネルギーが担っているので加速できない  
リコネクションレートが増大することもない**

# Petschek型リコネクション

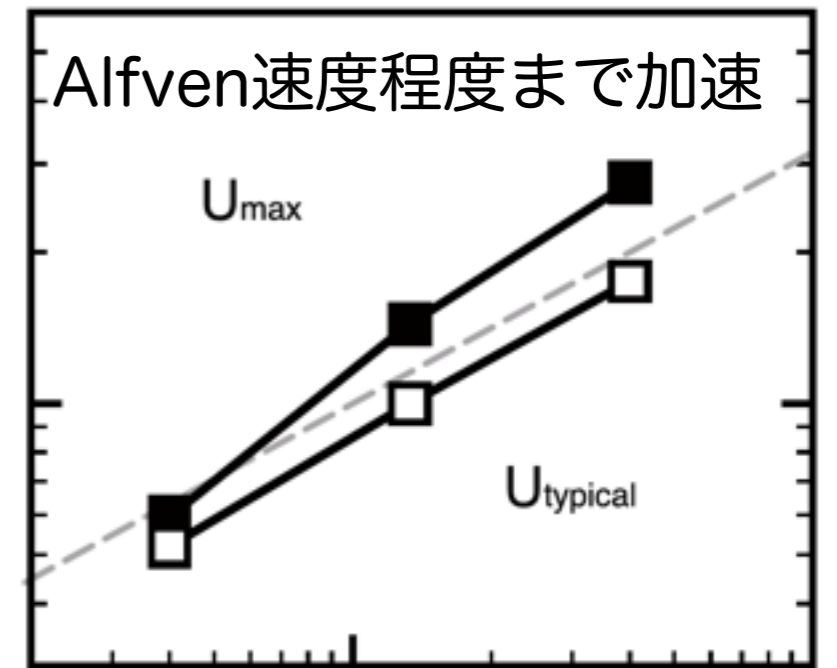
局所抵抗を仮定した相対論的抵抗性MHD数値実験

銭谷'10



アウトフロー

4元速度



遅い衝撃波を伴う磁気リコネクション

アウトフロー速度~アルヴェーン速度

相対論的状況ではリコネクションレートが増大がみられる (渡辺'06)

磁気エネルギーのかなりの量は熱エネルギーへ (銭谷'09)

Sweet-Parker型でもPetschek型でも高温プラズマが生成される

→(黒体放射を仮定すると)輻射エネルギーは温度の4乗に比例

→**輻射の影響を考える必要がある**

# 吸収、散乱過程

簡単のため、電子散乱と自由-自由吸収を考える

電子散乱

$$l_{es} = 1/(\rho\sigma) = 2.5 \text{ cm} \left( \frac{\rho}{1 \text{ gcm}^{-3}} \right)^{-1}$$

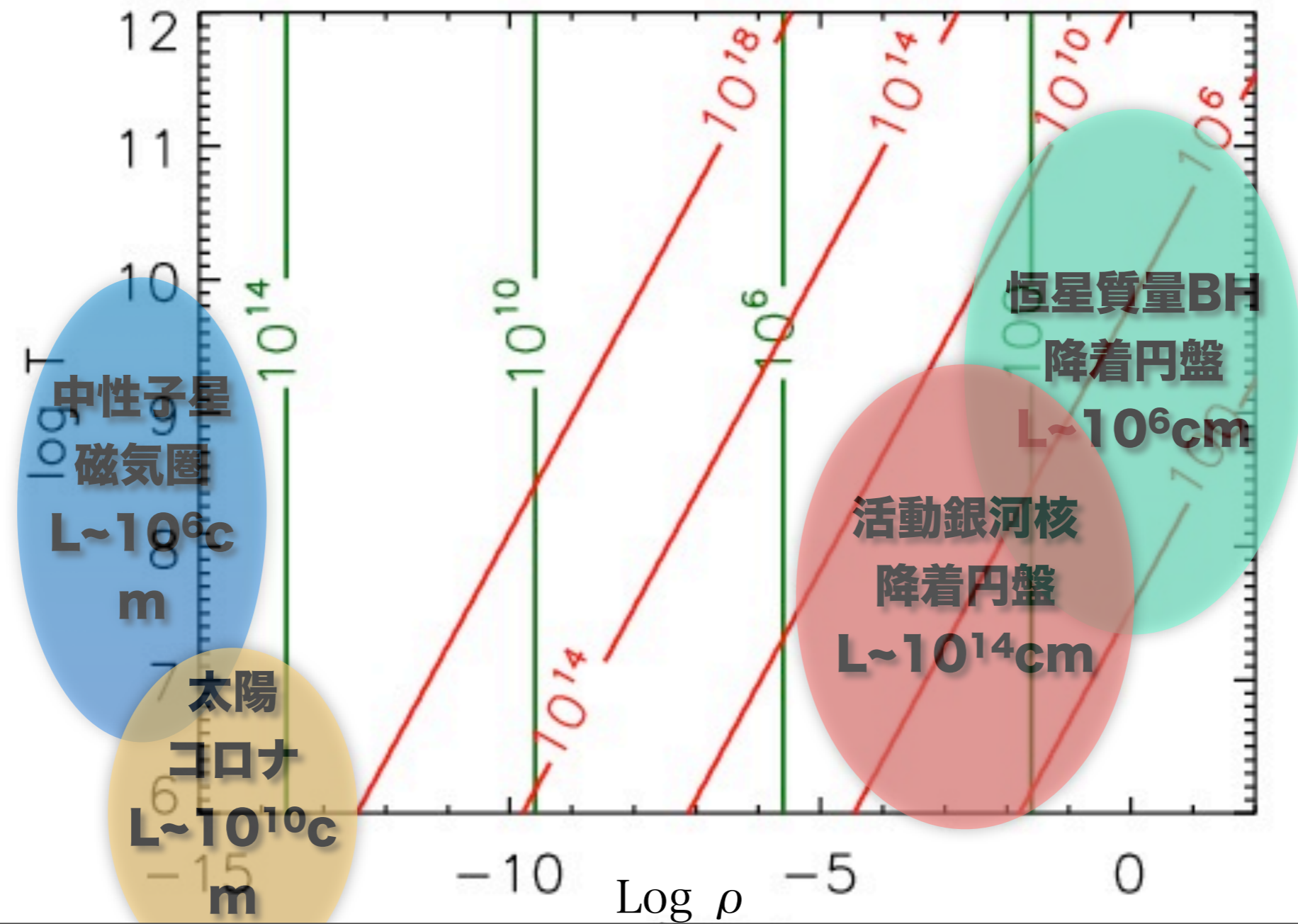
自由-自由吸収

$$l_{ff} = 1/(\rho\kappa) = 1.6 \times 10^5 \text{ cm} \left( \frac{\rho}{1 \text{ gcm}^{-3}} \right)^{-2} \left( \frac{T}{10^8 \text{ K}} \right)^{3.5}$$

有効平均自由行程

$$l_{eff} = \sqrt{l_{es}l_{ff}} = 6.3 \times 10^2 \text{ cm} \left( \frac{\rho}{1 \text{ gcm}^{-3}} \right)^{-1.5} \left( \frac{T}{10^8 \text{ K}} \right)^{1.75}$$

それぞれの平均自由行程





# 輻射の取扱：モーメント式

Intensityに対する輻射輸送方程式： $\frac{\partial I}{\partial t} + \mathbf{n} \cdot \nabla I = \chi(S - I)$   
7個の独立変数で解くのは大変

輻射輸送方程式を振動数・立体角（運動量空間）で積分

## ◆発展方程式：1次モーメントで打ち切る

$$\begin{aligned} \partial_t E_r + \partial_j F_r^j &= \rho \gamma \kappa (4\pi B - c E_r') - \rho \gamma (\kappa + \sigma) \frac{v_j \cdot F_r'^j}{c} \\ \frac{1}{c^2} \partial_t F_r^i + \partial_j P_r^{ij} &= \rho \gamma \kappa \frac{v^i}{c} \left( \frac{4\pi}{c} B - E_r' \right) \\ &\quad - \frac{\rho (\kappa + \sigma)}{\gamma + 1} \frac{u^i}{c} (u_j F_r'^j) - \frac{\rho (\kappa + \sigma)}{c} F_r^i \end{aligned}$$

$\kappa$  : 吸収係数、 $\sigma_s$  : 散乱係数、 $B$ : 黒体放射強度

注意：左辺の輻射場は実験室系、右辺の輻射場は共動座標系

$$E_r = \frac{1}{c} \int d\nu d\Omega I \quad \text{光のエネルギー密度}$$

$$F_r^i = \int d\nu d\Omega I n^i \quad \text{光の運動量密度}$$

$$P_r^{ij} = \frac{1}{c} \int d\nu d\Omega I n^i n^j \quad \text{光による応力}$$

# 輻射の取扱：状態方程式

状態方程式を仮定する

=エディントンテンソル $D^{ij}$ を仮定する

$$P^{ij} = D^{ij}(E_r, F_r)E_r$$

## ◆エディントン近似

輻射は等方的 (e.g., 光学的に厚い場合)

$$P^{ij} = \frac{\delta^{ij}}{3} E_r'$$

相対論的プラズマと等価

→光は常に $c/\sqrt{3}$ の速度で伝わる

## ◆M-1 closure

輻射の非等方性を考慮 (Levermore '84)

$$P^{ij} = \left[ \frac{1 - \chi}{2} \delta^{ij} + \frac{3\chi - 1}{2} n^i n^j \right] E_r$$

等方成分

非等方成分

$$\chi = \frac{3+4|f|^2}{5+2\sqrt{4-3|f|^2}}, \quad f = \frac{F_r}{cE_r}, \quad n = \frac{F_r}{|F_r|}$$

注) エディントンテンソルの値は必ず1より小さい

## 日陰問題

原点付近に光学的に厚いクランプをおく

HRT & Ohsuga '11

M-1では光は指向性を持って伝搬できる

# 輻射の取扱：状態方程式

状態方程式を仮定する

=エディントンテンソル $D^{ij}$ を仮定する

$$P^{ij} = D^{ij}(E_r, F_r)E_r$$

## ◆エディントン近似

輻射は等方的 (e.g., 光学的に厚い場合)

$$P^{ij} = \frac{\delta^{ij}}{3} E_r'$$

相対論的プラズマと等価

→光は常に $c/\sqrt{3}$ の速度で伝わる

## ◆M-1 closure

輻射の非等方性を考慮 (Levermore '84)

$$P^{ij} = \left[ \frac{1 - \chi}{2} \delta^{ij} + \frac{3\chi - 1}{2} n^i n^j \right] E_r$$

等方成分

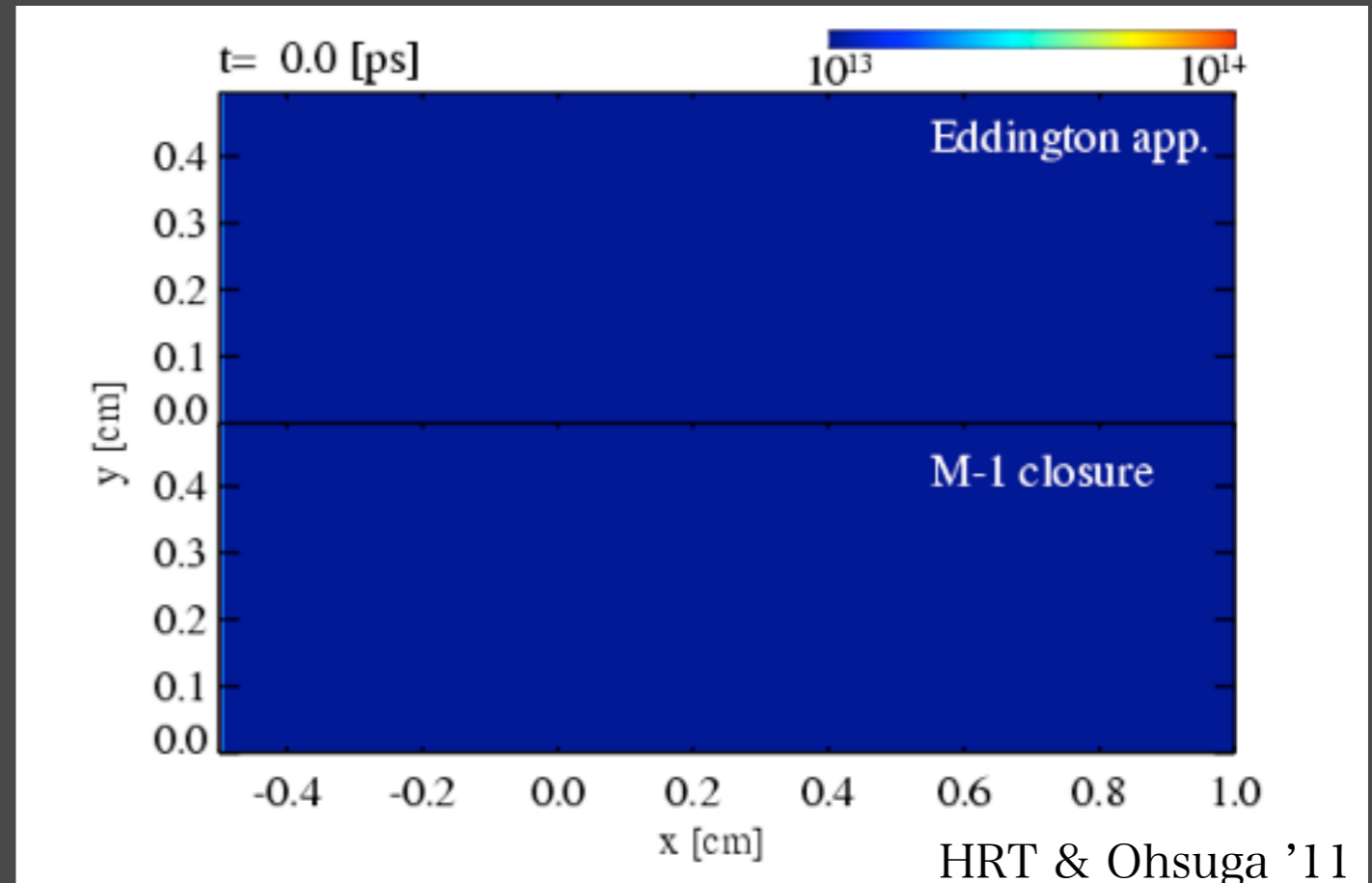
非等方成分

$$\chi = \frac{3+4|f|^2}{5+2\sqrt{4-3|f|^2}}, \quad f = \frac{F_r}{cE_r}, \quad n = \frac{F_r}{|F_r|}$$

注) エディントンテンソルの値は必ず1より小さい

## 日陰問題

原点付近に光学的に厚いクランプをおく



**M-1では光は指向性を持って伝搬できる**

# R3MHD: 相対論的抵抗性輻射磁気流体方程式

## 質量保存

$$\frac{\partial \rho \gamma}{\partial t} + \frac{\partial}{\partial x^\nu} (\rho \gamma v^\nu) = 0$$

## 磁気流体のエネルギー保存

$$\frac{\partial}{\partial t} [E_{\text{hydro}} + E_{\text{EM}}] + \nabla \cdot [\mathbf{m}_{\text{hydro}} + \mathbf{m}_{\text{MHD}}] = G^0$$

## 磁気流体の運動量保存

$$\frac{1}{c^2} \frac{\partial}{\partial t} [\mathbf{m}_{\text{hydro}} + \mathbf{m}_{\text{EM}}] + \nabla \cdot [\mathbf{P}_{\text{hydro}} + \mathbf{P}_{\text{MHD}}] = \mathbf{G}$$

## マックスウェル方程式

$$\begin{aligned} \frac{\partial \mathbf{B}}{\partial t} + c \nabla \times \mathbf{E} &= 0 & \nabla \cdot \mathbf{E} &= 4\pi q \\ \frac{\partial \mathbf{E}}{\partial t} - c \nabla \times \mathbf{B} &= -4\pi \mathbf{j} & \nabla \cdot \mathbf{B} &= 0 \end{aligned}$$

15本の双曲型方程式  
+状態方程式を  
数値的に解く

## 輻射のモーメント方程式

$$\begin{aligned} \frac{\partial E_r}{\partial t} + \nabla \cdot \mathbf{F}_r &= -G^0 \\ \frac{1}{c^2} \frac{\partial \mathbf{F}_r}{\partial t} + \nabla \cdot \mathbf{P}_r &= -\mathbf{G} \end{aligned}$$

## 代数関係式

流体：理想流体(ポリトロピック)  
輻射：M-1クロージャー  
電磁場：等方散逸のオームの法則